



تعیین فرکانس اسلامگ در کanal افقی طویل به روش تجربی

پویان ادیبی^۱، محمد رضا انصاری^{۲*}، بابک حبیب‌پور^۳، ابراهیم سلیمی^۳

- دانشجوی دکتری، مهندسی مکانیک، دانشگاه تربیت مدرس، تهران
 - دانشیار، مهندسی مکانیک، دانشگاه تربیت مدرس، تهران
 - دانشجوی کارشناسی ارشد، مهندسی مکانیک، دانشگاه تربیت مدرس، تهران
- *تهران، صندوق پستی ۱۴۱۱۵-۱۴۳، پست الکترونیکی mra_1330@modares.ac.ir

چکیده

در این مقاله اثرات سرعت ظاهری گاز و مایع ورودی و نیز فاصله از بالادست کanal بر فرکانس اسلامگ در جریان دوفازی آب و هوا به صورت تجربی بررسی و روابط تجربی برای محاسبه فرکانس اسلامگ نیز ارائه شده است. محل انجام آزمایش‌ها، آزمایشگاه جریان چندفازی دانشگاه تربیت مدرس بوده است. آزمایش‌ها در کسر حجمی مایع ۷/۵ - ۰ دیک کanal افقی با مقطع مستطیلی به ابعاد $5 \times 10 \text{ cm}^2$ (قطر معادل هیدرولیکی ۶/۶۷ cm و طول ۳۶ cm) از جنس پلکسی گلاس انجام شده است. محدوده سرعت ظاهری آب $0.11-0.56 \text{ m/s}$ و سرعت ظاهری هوا $0.88-1.3 \text{ m/s}$ است. اندازه‌گیری فرکانس اسلامگ در سه محل از ورودی کanal انجام شده است. نتایج آزمایش‌ها نشان می‌دهد که در تمامی حالاتی آزمایش، کمینه فرکانس در کمترین سرعت ظاهری مایع و بیشینه آن در بیشترین سرعت ظاهری مایع رخ می‌دهد. با افزایش ضریب لغزش، فرکانس اسلامگ کاهش می‌یابد. فرکانس اسلامگ تابع قوی از سرعت ظاهری مایع است. در سرعت‌های بالای آب، فرکانس اسلامگ در کanal افزایش می‌یابد. تاثیر سرعت ظاهری گاز بر فرکانس اسلامگ در هر سرعت ظاهری مایع، کاهشی است. با حرکت در جهت پایین دست کanal، فرکانس اسلامگ کاهش می‌یابد. حرکت اسلامگ در پایین دست کanal، سریع‌تر و با شتاب بالاتری انجام می‌گیرد.

اطلاعات مقاله

مقاله پژوهشی کامل
دریافت: ۱۲ تیر ۱۳۹۲
پذیرش: ۰۳ مهر ۱۳۹۲
ارائه در سایت: ۳۱ فروردین ۱۳۹۳
کلید واژگان:
فرکانس اسلامگ
سرعت ظاهری ورودی
کanal افقی طویل
روش تجربی

Slug frequency evaluation in long horizontal channel by experimental method

Pouyan Adibi¹, Mohammad Reza Ansari^{1*}, Babak Habibpour¹, Ebrahim Salimi¹

1- Faculty of Mechanical Engineering, Tarbiat Modares University, Tehran, Iran
*P.O.B. 14115- 143 Tehran, mra_1330@modares.ac.ir

ARTICLE INFORMATION

Original Research Paper
Received 03 July 2013
Accepted 25 September 2013
Available Online 20 April 2014

Keywords:
Slug frequency
Inlet superficial velocity
Long horizontal channel
Experimental method

ABSTRACT

In this paper, the effect of gas and liquid inlet superficial velocities and distance from upstream on slug frequency is studied experimentally. Empirical correlations are also presented based on the obtained results. The tests are conducted for liquid holdup $cl = 0.75$ and three distances from inlet in a long horizontal channel made of Plexiglas with dimensions of $5 \times 10 \text{ cm}^2$ and 36m length in Multiphase Flow Lab. of Tarbiat Modares University. The superficial liquid and air velocities rated as to $0.11-0.56 \text{ m/s}$ and $1.88-13 \text{ m/s}$, respectively. The obtained results show that slug frequency is dependent to superficial liquid velocity directly. Slug frequency decreases with slip ratio increase. Slug frequency has strong dependency on superficial liquid velocity and increases monotonically with it. However, superficial gas velocity has damping effect on slug frequency. As slug moves towards downstream, slug frequency will be decreased but slug velocity will be increased.

که به سقف کanal برسد (به اصطلاح سقف کanal را خیس کند) موج اسلامگ را تشکیل می‌دهد. دوم امواجی که به سقف کanal نمی‌رسد و روی خود باز می‌گردد (مانند امواج بلند اقیانوسی) امواج غلتان^۲ را تشکیل می‌دهد. محققین مختلفی نظریه هانزانی و هر شمان^[۴] و کدری و همکاران^[۵] نیز به بررسی این امواج پرداخته‌اند. جریان اسلامگ در صنایع تولید انرژی که شامل دوفاز هستند، مانند خطوط لوله انتقال بخار، نفت و گاز، هیدرورکرین‌ها، اوپرаторها و کندانسورهای نیروگاه‌های تولید توان و غیره اتفاق می‌افتد. جریان اسلامگ دارای طبیعتی ناپایدار و گذرا است. در صورتی که طول کanal به حد کافی طویل باشد حباب

درک خوب از رفتار فیزیکی سیستم‌های دوفازی و تغییر مشخصه‌های جریان با زمان، نظیر حجم یا سرعت فاز، برای طراحی مناسب خط لوله، عمل آوری سیال، بهینه‌سازی عملکرده، اینمی حداکثر، کنترل بهره‌برداری از فرآیندها و نیز طراحی تجهیزات مرتبط بسیار مهم است [۱]. در زمان طراحی خط لوله و مخازن، پیش‌بینی رژیم جریان اسلامگ^۱ مهم است [۲]. جریان اسلامگ یکی از شایع‌ترین الگوهای جریان دوفازی است که در آن سیال مایع به تنهایی سطح مقطع لوله را پر می‌کند (شکل ۱-الف و ب). ناپایداری سطح مشترک خود را به دو صورت نشان می‌دهد، اول امواجی

2- Roll waves

1- Slug

Please cite this article using:

P. Adibi, M.R. Ansari, B. Habibpour, E. Salimi, Slug frequency evaluation in long horizontal channel by experimental method, *Modares Mechanical Engineering*, Vol. 14, No. 2, pp. 141-149, 2014 (In Persian)

برای ارجاع به این مقاله از عبارت ذیل استفاده نمایید:

www.modares.ac.ir



شکل ۲-ب سه ناحیه اصلی اسلامگ، $U_{sl}=0.22 \text{ m/s}$ و $U_{sg}=0.9 \text{ m/s}$ ، [آزمایشگاه جریان چندفازی دانشگاه تربیت مدرس]



شکل ۳ دو اسلامگ متواالی، آزمایش ۲، $U_{sl}=0.22 \text{ m/s}$ و $U_{sg}=0.9 \text{ m/s}$ ، [آزمایشگاه جریان چندفازی دانشگاه تربیت مدرس]

۳- فرکانس اسلامگ

یک موضوع پراهمیت در توسعه مدل‌های جریان اسلامگ، پیش‌بینی فرکانس اسلامگ است که امروزه به‌طور کامل حل نشده است [۱۰]. مطالعات نویسنده‌گان این تحقیق نیز نشان می‌دهد این موضوع همچنان به‌عنوان یک مسئله اساسی در جریان‌های دوفازی درون لوله و کanal مطرح است. فرکانس اسلامگ تعداد اسلامگ‌های عبوری از یک مکان ویژه در راستای خط لوله در یک دوره زمانی مشخص است. از میان مشخصه‌های جریان اسلامگ، فرکانس اسلامگ موردی بحرانی است که به مشکلات عملکردی جدی مانند سیلانی شدن^۴ تاسیسات پایین دست، خودگی شدید لوله، ناپایداری سازه‌ای خط لوله و نوسانات فشار سر چاه منجر می‌شود. تجرب نشان می‌دهد که خودگی لوله به‌طور عمده‌ای از فرکانس بالای اسلامگ متأثر است [۱۱]. رفتار آشوبناک^۵ جریان در پیشانی اسلامگ موجب شکست پوشش‌های حفاظتی می‌شود، دیواره لوله در معرض عناصر خورنده موجود درون مسیر جریان قرار می‌گیرد و از این‌رو نرخ خودگی به‌طور مستقیم با تعداد اسلامگ‌های در حال حرکت در طول لوله متناسب خواهد بود. بنابراین، دانستن فرکانس اسلامگ برای پیش‌بینی دقیق نرخ‌های خودگی و توسعه یک برنامه بازدارنده خودگی، مناسب و ضروری است [۱۲].

پیش‌بینی فرکانس اسلامگ در طراحی خطوط لوله انتقال و تجهیزات دریافت کننده گاز- مایع مهم است. افت فشار در طی اسلامگی شدن نسبت به حالت جریان همگن و لایه‌ای بالاتر است. افت فشار به‌طور مستقیم با فرکانس اسلامگ متناسب است. بنابراین پیش‌بینی درست فرکانس اسلامگ مهم است [۱۳]. در شکل ۳ تصویری از دو اسلامگ متواالی دیده می‌شود.

۴- روند تحقیقات گذشته در خصوص فرکانس اسلامگ

از آن جایی که عوامل موثر بر فرکانس اسلامگ زیاد است، محققان چون کوردبیان و رانوف [۱۴] چو [۱۵] ورمولن و رایان [۱۶] و داکلر و هوبارد [۱۷] یاد کرده‌اند که استفاده از نتایج آن‌ها مخصوص شرایط آزمایش است. فرکانس اسلامگ ارائه شده توسط اغلب آن‌ها تابعی ساده از نرخ‌های جریان گاز و مایع در قطر ثابت لوله و خواص سیال است.

مطالعات تئوری و تجربی فراوانی بر خطوط لوله افقی انجام شده است. اولین تحقیقات کامل تجربی فرکانس اسلامگ منسوب به هوبارد [۱۸] است. وی جریان هوا و آب در یک لوله افقی با قطر داخلی $2/51 \text{ cm}$ را بررسی کرد. گریگوری و اسکات [۱۹] داده‌های را در مورد فرکانس اسلامگ و سرعت انتقالی در یک لوله به قطر $1/9 \text{ cm}$ ارائه کردند. سیال‌های عامل آب و دی-اکسیدکربن بوده است. ایشان با استفاده از داده‌های تجربی خود رابطه (۱) را برای محاسبه فرکانس اسلامگ ارائه کردند.

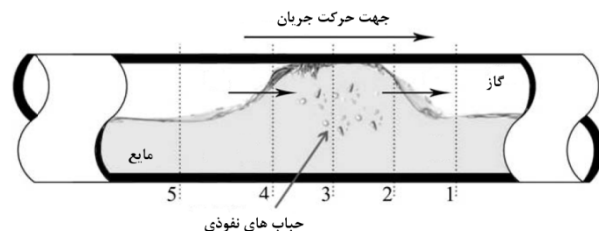
گاز بزرگ و اسلامگ به صورت نوبتی در لوله جریان می‌یابد. این خصوصیت جریان اسلامگ سبب ایجاد نیروهای دینامیکی در لوله‌ها، ایجاد بار اضافی دینامیکی در اجزا دریافت کننده^۶ و افت فشار در مسیر جریان می‌شود. با توجه به پیامدهای مضر تشکیل اسلامگ، مطالعه سازوکار تشکیل، نقطه آغاز و رشد اسلامگ و تعداد آن‌ها در واحد زمان از اهمیت بالایی برخوردار است [۶].

۲- فریزیک پدیده اسلامگ

زمانی که گاز با سرعت زیاد بر سطح مایع موجی جریان یابد، نیروی برای آبرو دینامیکی^۷ ناشی از تغییر فشار بر موج به‌عنوان عامل ناپایدار کننده، برای غلبه بر نیروهای هیدروداستاتیکی به‌عنوان عامل پایدار کننده کافی است. این موضوع به‌عنوان ناپایداری کلوین- هلمهولتز^۸ شناخته می‌شود. به علاوه اثر برنولی نیز به عامل ناپایداری کمک خواهد کرد [۷].

انصاری [۸] بیان کرد که وقتی گاز بر سطح مایع صاف جریان یابد، تعدادی امواج با طول موج کوتاه در سطح مشترک ایجاد می‌شود. یکی از این امواج با طول موج کوتاه رشد نموده و اسلامگی با طول موج بلند را ایجاد می‌کند. انصاری جریان اسلامگ را به‌طور تجربی در کanal مستطیلی به طول 10 m و سطح مقطع $5 \times 10 \text{ cm}^2$ بررسی کرد. ایشان نتیجه گرفت که یک واحد موج اسلامگ از سه ناحیه اصلی تشکیل شده است (شکل ۲-الف و ب).

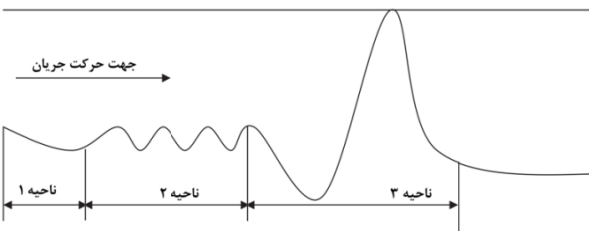
در ناحیه اول، سطح مشترک جریان دوفازی به‌دلیل جریان گاز، اندکی فشرده می‌شود. در ناحیه دوم تعدادی امواج با طول موج کوتاه تشکیل می‌شود. یکی از این موج‌ها با طول موج کوتاه در ناحیه سوم رشد کرده که در نهایت اسلامگ خواهد شد. همچین ایشان نتیجه گرفت که دلیل تشکیل اسلامگ (که یک موج بلند است) امواج کوتاهی است که پیش از ایجاد اسلامگ در ناحیه دوم ظاهر می‌شوند. ساز و کار رشد امواج کوتاه برپایه ناپایداری کلوین- هلمهولتز است.



شکل ۱-الف طرح‌واره جریان اسلامگ [۷]



شکل ۱-ب جریان اسلامگ، $U_{sl}=0.59 \text{ m/s}$ و $U_{sg}=0.9 \text{ m/s}$ ، [آزمایشگاه جریان چندفازی دانشگاه تربیت مدرس]



شکل ۲-الف طرح‌واره سه ناحیه اصلی در جریان اسلامگ [۹]

1- Receiving devices

2- Aerodynamic lifting force

3- Kelvin-helmholtz

محاسبه فرکانس اسلامگ ارائه کرد. تأثیر زاویه شیب در روابط پیشین دیده نشده بود.

$$F_s = 0.0226 \left[\frac{U_{sl}}{\lg D} \left(\frac{212.6}{U_m} + U_m \right) \right]^{1.2} \times [0.836 + 2.75 \sin^{0.25}(\theta)] \quad (2)$$

در این تحقیق برای درک اثر سرعت ظاهری گاز و مایع ورودی و نیز تأثیر فاصله از بالادست کanal در تشکیل، تجمیع و استهلاک اسلامگها در سه محل از کanal، یعنی فاصله $60D$ از ورودی کanal (محدوده ابتدایی کanal و آغاز تشکیل اسلامگ) فاصله $279D$ از ورودی کanal (محدوده میانی کanal و شرایط پایاتر جریان اسلامگ نسبت به ناحیه ورودی کanal) و فاصله $450D$ از ورودی کanal (محدوده انتهایی کanal و خروج اسلامگ) آزمایش‌های مختلفی انجام شده است. بررسی پدیده اسلامگ در کanal طویل افقی و وابستگی رشد و استهلاک آن به موقعیت آن در کanal از نوآوری‌های تحقیق حاضر است.

۵- سیستم آزمایشگاهی

طرح واره سیستم آزمایشگاهی مورد استفاده در این پژوهش در شکل ۴ نشان داده شده است. به طور معمول بهدلیل دسترسی آسان، غیرقابل اشتغال و غیر-سمی بودن از هوا به عنوان سیال گاز و از آب به عنوان سیال مایع در بررسی جریان دوفازی استفاده می‌شود.

آزمایش‌ها در کanal افقی با مقطع مستطیلی به ابعاد $5 \times 10 \text{ cm}^2$ (قطر معادل هیدرولیکی $6/67 \text{ cm}$ و به طول 36 m (طول معادل $540D$) از جنس پلکسی گلاس^۴ انجام شده است. دیواره شفاف کanal اجازه بررسی دیداری از وضعیت جریان داخل کanal را به ناظر بیرونی می‌دهد. کanal بر تعدادی تکیه-گاه فلزی قرار دارد. هر تکیه‌گاه به طور مجزا قابلیت تنظیم شیب -89° درجه نسبت به افق را دارد.

برای تأمین هوا از دمنده و برای تأمین آب از پمپ گریز از مرکز استفاده شده است. هوا و آب بعد از رسیدن به قسمت مخلوط کننده به صورت هموار وارد کanal و سپس با عبور از کanal، در انتها وارد مخزن روپار می‌شوند که در آن هوا و آب از هم جدا می‌شود.

۱- خط تأمین هوا

برای ایجاد جریان هوا با دبی مناسب از یک دمنده استفاده شده است. هوا مکیده شده از محيط آزمایشگاه پس از عبور از فیلتر هوا وارد دمنده و به داخل مخزن هوا فرستاده می‌شود. هوای درون مخزن که در دما و فشار بالا قرار دارد برای کاهش دما و هم‌دما شدن با آب از یک سیستم خنک‌کاری عبور می‌کند. این کار بهدلیل شرط تعادل دمایی بین دوفاز مایع و گاز در ورودی کanal انجام می‌گیرد. هوا پس از عبور از سیستم خنک‌کاری به سمت دبی سنج های هوا جریان یافته و پس از اندازه‌گیری دمای هوا در ورودی مخلوط کننده، به وسیله لوله قابل انعطاف از بالا وارد قسمت مخلوط کننده می‌شود.

با توجه به این که آزمایش‌ها باید در سرعت‌های ظاهری مختلف هوا انجام شود و همچنین به منظور کنترل پذیری بیشتر سیستم خط تأمین هوا از یک اینورتر^۵ برای کنترل دور موتور استفاده شده است. به کمک اینورتر می‌توان دبی را در هر مقدار مشخص و دلخواه تأمین و تنظیم کرد.

۲- خط تأمین آب

برای تأمین آب از دو پمپ و دو مخزن استفاده شده است. پمپ شماره ۱، سانتریفیوژ با بیشینه دبی $40 \text{ m}^3/\text{hr}$ و هد 20 m و الکتروموتور تک‌فار است.

$$F_s = 0.0226 \left[\frac{U_{sl}}{\lg D} \left(\frac{19.75}{U_m} + U_m \right) \right]^{1.2} \quad (1)$$

نیکلسون و همکاران [۲۰] مدل داکلر و هوبارد [۱۷] را توسعه و آزمایش‌های در لوله‌های به قطر $2/58 \text{ cm}$ و $5/12 \text{ cm}$ انجام دادند که منجر به داده‌های تغییرات فشار، فرکانس اسلامگ، پرشدگی مایع و سرعت انتقالی اسلامگ شد.

هوبارد [۱۸] گریگوری و اسکات [۱۹] و هیوود و ریچاردسون [۲۱] اثر نرخ‌های جریان مایع و گاز بر فرکانس اسلامگ را آزمایش کردند. تمام این محققین، کمینه فرکانس را در حدود سرعت ظاهری گاز 4 m/s در محدوده شرایط مطالعه خود گزارش کردند. این نتیجه با مشاهدات جریان هوا-آب در یک لوله $9/53 \text{ cm}$ در فشار اتمسفر توسط ظاهری گاز [۲۲-۲۳] آندریتیسوس و همکاران [۲۴] و فن و همکاران [۲۵-۲۶] مبنی بر متفاوت بودن الگوهای موج و ساز و کار تشکیل اسلامگ در سرعت‌های زیاد و کم گاز، در تفاق است. ایشان دریافتند که در سرعت بالای 4 m/s امواج نامنظم در جریان لایه‌ای آشکار می‌شوند. اگر لایه مایع به اندازه کافی ضخیم باشد، امواج می‌توانند به یکدیگر بیپوندد و یک اسلامگ را تشکیل دهند.

ووزد و همکاران [۲۷] تولید اسلامگ در جریان هوا-آب در لوله‌های افقی به قطرهای $7/63 \text{ cm}$ و $9/5 \text{ cm}$ با تأکید بر نرخ‌های بالای مایع ($U_{sl} \geq 0/5 \text{ m/s}$) که در آن، اسلامگها نزدیک به ورودی تشکیل می‌شوند و فواصل زمانی بین اسلامگ‌ها اتفاقی هستند؛ مطالعه و همچنین ایشان یک رابطه تجربی برای محاسبه فرکانس اسلامگ ارائه کردند. ایشان نتیجه گرفتند که در لوله به قطر $7/63 \text{ cm}$ در سرعت‌های ظاهری گاز کمتر از 3 m/s اسلامگ‌های آغازین از تماس امواج سطح مشترک با بالای لوله و بسیار نزدیک به ورودی تشکیل می‌شوند. در $U_{sg} > 3-4 \text{ m/s}$ اسلامگ‌ها از تجمیع امواج و در پایین دست تر تشکیل می‌شوند.

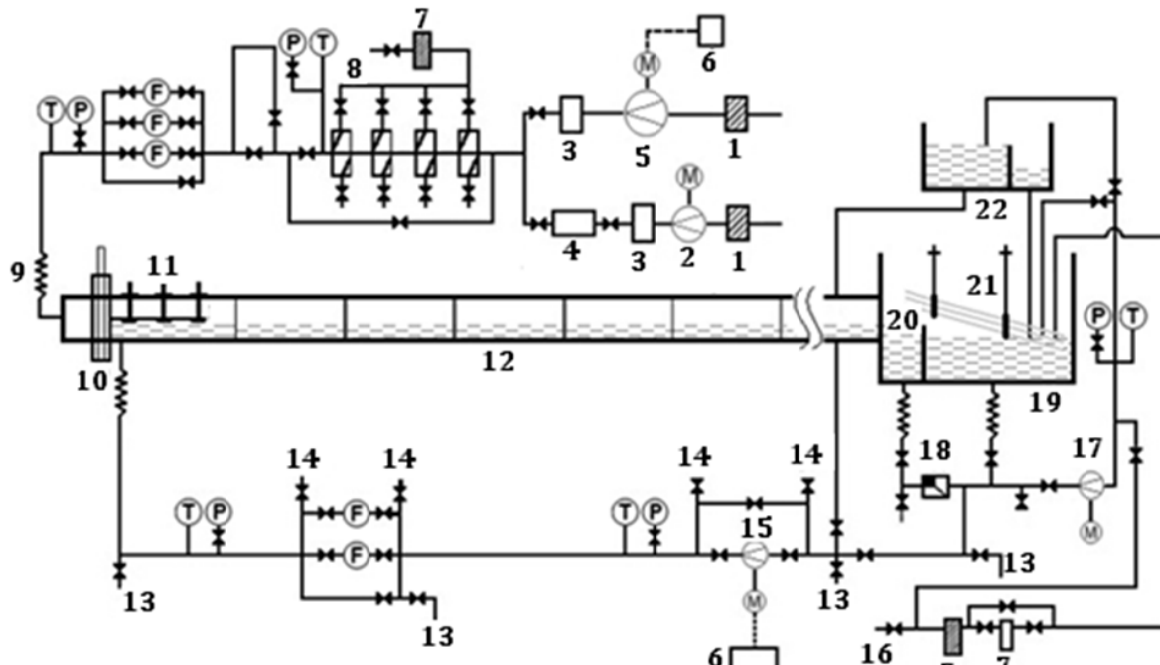
تکامل اسلامگ در طول لوله برای شیب‌ها و قطرهای مختلف لوله به طور تجربی مورد مطالعه قرار گرفته است. وانگ و همکاران [۲۸] جریان اسلامگ را به طور تجربی در یک مدار آزمایشگاهی^۱ افقی به طول 133 m متر مطالعه کردند. گرنیر و همکاران [۲۹] به صورت تجربی اسلامگ را در چهار محل محوری در قطر داخلی $5/3 \text{ cm}$ و طول افقی $U_{sg} < 2.0 \text{ m/s}$ در 900 cm از زیبایی کردند. ون هوت و همکاران [۳۰-۳۱] تکامل پارامترهای هیدرودینامیکی و آماری جریان اسلامگ در چهار نقطه در طول لوله با استفاده از پروب‌های^۲ فیبر نوری در زوایای مختلف شیب از افقی تا عمودی بهازای $U_{sg} < 0.25 \text{ m/s}$ و 0.7 m/s را اندازه گرفتند. بهدلیل برخی محدودیت‌ها، این محققین تکامل پارامترهای آماری جریان اسلامگ گاز-مایع در چندین موقعیت محوری در طول لوله بهازای سرعت‌های ظاهری کم گاز را اندازه گرفتند.

زیباراس [۳۲] مدل تایتل و داکلر [۳۳] را با مجموعه کوچکی از داده‌های آزمایشگاهی افقی و شیبدار معتبر ساخت و پیش‌بینی‌های رضایت‌بخشی را نشان داد. در مدل تایتل و داکلر [۳۳] فرکانس اسلامگ از حل عددی معادلات بقای جرم و مومنتوم جریان به دست می‌آید. زیباراس [۳۲] ادعا کرد که اشکال عمده مدل تایتل و داکلر [۳۳] نه تنها دشواری توسعه الگوریتم حل عددی است، بلکه در زمان مورد نیاز برای محاسبه فرکانس اسلامگ از محدوده چند دقیقه تا چندین ساعت زمان پردازش کامپیوتری^۳ نیز است. زیباراس نیز با استفاده از داده‌های تجربی خود، رابطه گریگوری و اسکات را با تأثیر زاویه شیب لوله، بهبود بخشید و رابطه (۲) را در سیستم آحاد انگلیسی برای

1- Test Loop

2- Probes

3- CPU time



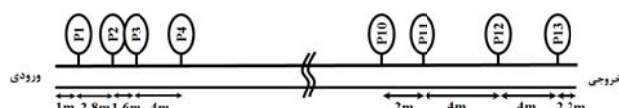
۱: فیلتر هوا؛ ۲: کمپرسور؛ ۳: مخزن هوا؛ ۴: تنظیم کننده فشار؛ ۵: دمنده؛ ۶: سیستم کنترل؛ ۷: فیلتر آب؛ ۸: مدار خنک کاری هوا؛ ۹: بوله انعطاف پذیر؛ ۱۰: دریچه لغزشی؛ ۱۱: صفحه فلزی نازک؛ ۱۲: بخش آزمایش؛ ۱۳: تخلیه؛ ۱۴: ونت؛ ۱۵: پمپ؛ ۱۶: آب مکمل؛ ۱۷: پمپ؛ ۱۸: شیر یکطرفه؛ ۱۹: مخزن؛ ۲۰: صفحه کنترل کننده سطح آب؛ ۲۱: دمپر اسلامگ؛ ۲۲: مخزن؛ M: موتور برقی؛ P: فشارسنج؛ T: دماسنج

شکل ۴ طرح واره بستر آزمون آزمایشگاه جریان چندفازی دانشگاه تربیت مدرس

بودن ابعاد کanal، سرعت ظاهری هریک از فازها در ورودی کanal به دست می‌آید. بیشترین مقدار عدم قطعیت‌های اندازه‌گیری براساس استاندارد ANSI/ASME [۳۴] برای دبی سنج آب و هوا به ترتیب $\pm 1/25\%$ و $\pm 5\%$ است. میزان فشار موضعی جریان در طول کanal توسط ۱۳ مبدل فشار پیزوالکتریک اندازه‌گیری می‌شود (جدول ۱ و شکل ۵). محدوده اندازه‌گیری مبدل‌های فشار ۰-۲۵۰ mbar Gauge می‌باشد.

جدول ۱ مکان مبدل‌های فشار در طول کanal

ردیف	مکان (m)	مکان بی بعد شده با قطر هیدرولیکی کanal
۱	۱/۰۰	۱۴/۹۹
۲	۳/۸۰	۵۶/۹۷
۳	۵/۴۰	۸۰/۹۶
۴	۹/۴۰	۱۴۰/۹۳
۵	۱۲/۴۰	۱۸۵/۹۱
۶	۱۴/۶۰	۲۱۸/۸۹
۷	۱۶/۶۰	۲۴۸/۸۸
۸	۱۸/۶۰	۲۷۸/۸۶
۹	۲۰/۶۰	۳۰/۸/۸۵
۱۰	۲۳/۸۰	۳۵۶/۸۲
۱۱	۲۵/۸۰	۳۸۶/۸۱
۱۲	۲۹/۸۰	۴۴۶/۷۸
۱۳	۳۳/۸	۵۰۶/۷۵



شکل ۵ طرح واره قرار گیری مبدل‌های فشار در طول کanal آزمایشگاه جریان چند فازی دانشگاه تربیت مدرس

4- Piezoelectric pressure transducer

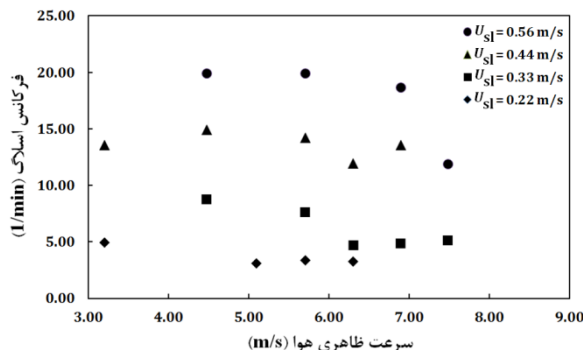
پمپ شماره ۲، سانتریفیوژ با بیشینه دبی $100 \text{ m}^3/\text{hr}$ و هد 30 m الکتروموتور سه‌فاز است. آب ورودی به مخزن شماره ۲ بهوسیله پمپ شماره ۲ وارد مخزن شماره ۱ می‌شود که در ارتفاع حدود ۶ متری از کف قرار دارد. مخزن شماره ۱ نسبت به مخزن شماره ۲ کوچک‌تر و دارای یک تیغه جداکننده است که سطح مایع را کنترل می‌کند. ابعاد این قسمت از مخزن طوری طراحی شده است که قسمت اول آن که هد^۱ پمپ شماره ۱ را تأمین می‌کند همواره پر باشد. آب مازاد بعد از ریختن به قسمت دوم مخزن شماره ۱ از طریق یک لوله وارد قسمت دوم مخزن شماره ۲ می‌شود. آب لازم برای آزمایش از طریق پمپ شماره ۱ و از مخزن شماره ۱ به داخل سیستم رانده می‌شود. این امر سبب می‌شود که دبی آب در طی آزمایش بهدلیل ثابت ماندن هد پمپ شماره ۱ ثابت بماند.

دبی مورد نظر برای آزمایش توسط خط کنارگذر^۳ و شیرهای موجود پس از پمپ شماره ۱ و همچنین یک اینورتر که به پمپ شماره ۱ مرتبط است، کنترل می‌شود. آب پس از عبور از پمپ شماره ۱ و شیرهای پس از آن به سمت دبی سنج آب رانده می‌شود. پس از اندازه‌گیری دما و فشار به وسیله یک لوله قابل انعطاف و از پایین، وارد مخلوط‌کننده می‌شود. با توجه به آن‌چه که یاد شد، آب موجود در سیستم دو چرخه مجزا را طی می‌کند. یکی از این چرخه‌ها شامل چرخه اصلی است که دبی آب مورد نیاز برای آزمایش را فراهم می‌کند و چرخه دوم، آب مازاد موجود در مخزن را برای ثابت نگه داشتن هد پمپ شماره ۱ به گردش درمی‌آورد.

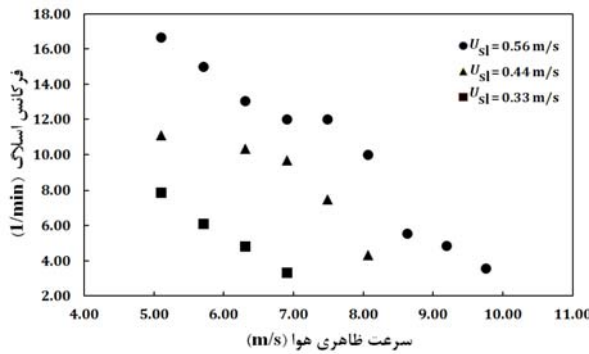
۳-۵- سیستم‌های اندازه‌گیری

دبی سنج هوا از نوع گردابی‌ای^۳ با دقت $0/01 \text{ m}^3/\text{hr}$ است. دبی سنج آب از نوع الکترومغناطیسی با دقت $0/01 \text{ m}^3/\text{hr}$ است که در مسیر آب پیش از ورود به مخلوط‌کننده قرار دارد. با اندازه‌گیری دبی هوا و آب و همچنین مشخص

- 1- Head
- 2- Bypass
- 3- Vortex



شکل ۶ فرکانس اسلامگ (l/min) در سرعت‌های ظاهری مختلف آب و هوا در محل ۶ برابر قطر هیدرولیکی کanal.



شکل ۷ فرکانس اسلامگ (l/min) در سرعت‌های ظاهری مختلف آب و هوا در محل ۷ برابر قطر هیدرولیکی کanal.

جدول ۲ بیشینه و کمینه کلی فرکانس اسلامگ در ۶۰D

توضیحات	سرعت ظاهری مایع (m/s)	سرعت ظاهری گاز (m/s)	ضریب فرکانس اسلامگ	سرعت لغزش (l/min)	کمینه کلی
	۳/۱۶	۲۲/۹۰	۵/۰۹	۰/۲۲	
بیشینه کلی	۲۰	۸/۰۵	۴/۴۷	۰/۵۶	
	۲۰	۱۰/۲۶	۵/۷۰	۰/۵۶	

جدول ۳ بیشینه و کمینه کلی فرکانس اسلامگ در ۲۷۹D

توضیحات	سرعت ظاهری مایع (m/s)	سرعت ظاهری گاز (m/s)	ضریب فرکانس اسلامگ	سرعت لغزش (l/min)	کمینه کلی
	۳/۳۳	۲۰/۶۷	۶/۸۹	۰/۱۳	
بیشینه کلی	۱۶/۶۷	۹/۱۶	۵/۰۹	۰/۵۶	

۶-۲- فاصله از ورودی کanal برابر ۲۷۹D

طبق شکل ۷ مشخص می‌شود که با افزایش سرعت ظاهری مایع، فرکانس اسلامگ افزایش می‌یابد. در هر سرعت ظاهری ثابت مایع، با افزایش سرعت ظاهری گاز، فرکانس اسلامگ کاهش می‌یابد.

در شکل ۷ در سرعت ظاهری مایع 22m/s /۰ عده اسلامگ‌ها یا به موج غلتان تبدیل شده‌اند و یا اینکه مضمحل شده‌اند. لذا فرکانس آن‌ها ثبت نشده است.

طبق جدول ۳ مشخص می‌شود که کمینه فرکانس در کمترین سرعت ظاهری مایع و بیشینه آن در بیشترین سرعت ظاهری مایع رخ می‌دهد.

۶-۳- فاصله از ورودی کanal برابر ۴۵۰D

طبق شکل ۸ با افزایش سرعت ظاهری مایع، فرکانس اسلامگ افزایش می‌یابد. افزایش سرعت ظاهری مایع برخلاف افزایش سرعت ظاهری گاز سبب افزایش

با توجه به ثبت داده‌های فشار موضعی توسط برنامه رایانه‌ای در هر آزمایش و فراوانی آن‌ها، در ادامه نمودارهای فشار مبدل‌های شماره ۲ (محل ۶۰D) شماره ۸ (محل ۲۷۹D) و شماره ۱۲ (محل ۴۵۰D) در یک آزمایش از هر کسر حجمی مایع به عنوان نمونه آورده می‌شود.

جهت ثبت تصاویر متوالی و فیلم از جریان در آزمایش‌های مختلف از دوربین فیلمبرداری کانن^۱ با کیفیت مطلوب HD^۲ با مشخصات ۳۰، ۳۰ و ۲۴۰ فریم در ثانیه استفاده شده است.

۶-۴- روند انجام آزمایش

برای تعیین فرکانس اسلامگ، ابتدا مسیر آب باز و آب وارد کanal می‌شود تا کسر حجمی اولیه ۰/۷۵ در ابتدای آزمایش فراهم شود و جریان آب به حالت پایدار برسد. پس از تثبیت دبی آب در یک مقدار مشخص، سرعت دورانی کمپرسور توسط اینورتر در حداقل میزان لازم برای هاده‌ی جهت ایجاد جریان اسلامگ قرار داده می‌شود. پس از رسیدن به حالت پایا در حدود ۱ دقیقه فیلمبرداری و داده برداری از سه محل انجام می‌شود. برای بررسی سرعت‌های ظاهری بالاتر هوا، در حالی که دبی آب ثابت است، سرعت دورانی موتور با گام 0.5Hz افزایش داده و در هر گام پس از رسیدن به حالت پایدار، فیلمبرداری و داده برداری انجام می‌شود. این مراحل برای دبی های بالاتر آب تا جایی که رژیم اسلامگ ایجاد شود، تکرار می‌شود. نتایج حاصل از اندازه‌گیری‌ها و مشاهدات انجام شده در بخش نتایج آزمایش‌ها آورده شده است. محدوده دبی حجمی آب $2-10\text{m}^3/\text{hr}$ (معادل سرعت ظاهری $0/56\text{m/s}$) و محدوده دبی حجمی هوا $33/84-234\text{m}^3/\text{hr}$ (معادل سرعت ظاهری $1/88-13\text{m/s}$) است. اندازه‌گیری فرکانس اسلامگ در سه محل انجام شده است.

در مجموع، ۴۳ آزمایش مختلف در آزمایشگاه جریان‌های چندفازی دانشگاه تربیت‌مدرس انجام و نتایج ارائه شده در این مقاله از نتایج این مجموعه آزمایش‌ها انتخاب شده است.

۶-۵- فرکانس اسلامگ در آزمایش‌های انجام شده

در این قسمت نمودارهای فرکانس اسلامگ در سه محل بر حسب سرعت‌های ظاهری مختلف مایع و گاز به همراه تحلیل آن‌ها آمده است. فرکانس اسلامگ بر حسب $1/\text{min}$ گزارش شده است.

۶-۱- فاصله از ورودی کanal برابر ۶۰D

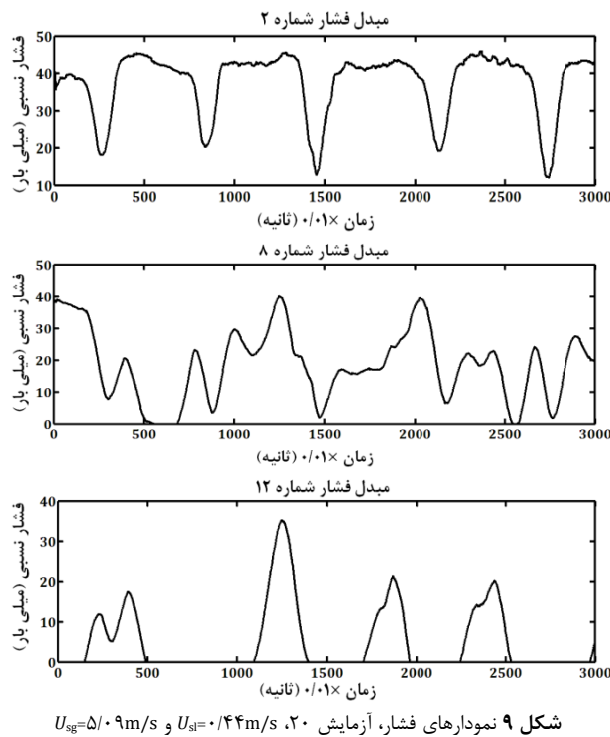
از شکل ۶ مشخص است که فرکانس اسلامگ در هر سرعت ظاهری مایع با افزایش سرعت ظاهری گاز، کاهش می‌یابد. دلیل این است که با افزایش سرعت ظاهری گاز اختلاف سرعت آن با سرعت ظاهری مایع افزایش می‌یابد. طبق معیار ناپایداری کلوین- هلمهولتز، این اختلاف موجب ناپایداری شدید سطح مشترک خواهد شد. در سرعت‌های گاز بالا بیشتر امواج غلتان تشکیل می‌شود و از این‌رو فرکانس اسلامگ کاهش می‌یابد.

با افزایش سرعت ظاهری مایع فرکانس اسلامگ نیز افزایش می‌یابد. دلیل این است که افزایش سرعت ظاهری مایع سبب افزایش مومنتوم مایع خواهد شد. افزایش مومنتوم مایع تأثیر ناپایدارکننده بر جریان خواهد داشت (شکل ۶). براساس جدول ۲ مشخص می‌شود که کمینه فرکانس در کمترین سرعت ظاهری مایع و بیشینه آن در بیشترین سرعت ظاهری مایع رخ می‌دهد.

1- CANON IXY 32S

2- High definition

3- Step



شکل ۹ نمودارهای فشار، آزمایش ۲۰

با تشکیل نخستین اسلامگ، فشار پشت بدن مایع اسلامگ، آن را به پایین دست می‌راند. با عبور اسلامگ، بیشینه فشار ثبت شده توسط مبدل‌های فشار ۸ و ۱۲ دارای مقداری کمتر از فشار مبدل فشار ۱ است. فشار در نمودار مبدل‌های فشار ۸ و ۱۲، در برخی زمان‌ها گرسنگی و دارای مقادیر کمینه نسبی است. این کمینه‌ها نشان‌دهنده عبور اسلامگ مایع از مبدل فشار است. بهبیان دیگر با رسیدن پیشانی اسلامگ به مبدل فشار، مقدار فشار زیاد می‌شود. این مقدار فشار بیشینه تا خروج کامل اسلامگ از کanal باقی می‌ماند. مدت زمان برقراری فشار بیشینه در کanal حاضر با مشخصات بیان شده در فاصله ۱۰ ۲۷۹D حداقل ۱۰ ثانیه و در فاصله ۴۵۰D در حدود ۳ ثانیه است. مدت زمان برقراری فشار ثابت شده صفر در کanal به معنی عدم وجود اسلامگ در کanal است. این زمان برای مبدل فشار شماره ۸ کمتر از یک ثانیه و مبدل فشار شماره ۱۲ بسته به نوع اسلامگ تشکیل شده، بین ۳ و ۶ ثانیه است.

در ۶۰D اسلامگ‌ها با فرکانس بیشتری تشکیل شده است. در سرعت‌های کم مایع، موننتوم مایع کم است، بنابراین موننتوم انتقالی به گاز کاهش می‌باید ولی در سرعت‌های بالای مایع، با از دست دادن موننتوم شرایط جدیدی برای تشکیل اسلامگ ایجاد می‌شود. بهبیان دیگر در سرعت ظاهری مایع کم با تغییر سرعت فاز گاز، فرکانس تقریباً ثابت می‌ماند اما در سرعت‌های بالاتر روندی کاهشی دارد. سیالات در ورودی، موننتوم بالاتری دارند. انتقال موننتوم نیز بیشتر خواهد بود. از این‌رو نوسانات فرکانس اسلامگ نیز بیشتر خواهد بود.

در میانه کanal برخی از اسلامگ‌ها به موج غلتان تبدیل شده و یا مستهلک شده‌اند. امواج غلتان تولید فشارهای متنوعی خواهد کرد که موجب نوسانی شدن نمودار فشار در میانه کanal (۲۷۹D) شده است.

همان‌طور که از نمودارهای فشار مشخص است، زمان عبور اسلامگ از مبدل‌های فشار با حرکت اسلامگ به طرف پایین دست، کاهش می‌باید. می‌توان نتیجه گرفت که با حرکت اسلامگ به پایین دست کanal، اسلامگ سریع‌تر و با شتاب بیشتری حرکت می‌کند.

فرکانس اسلامگ می‌شود، زیرا افزایش سرعت ظاهری مایع، افزایش موننتوم مایع را در پی خواهد داشت که این خود سبب ناپایداری سریع‌تر جریان دو-فاری می‌شود.

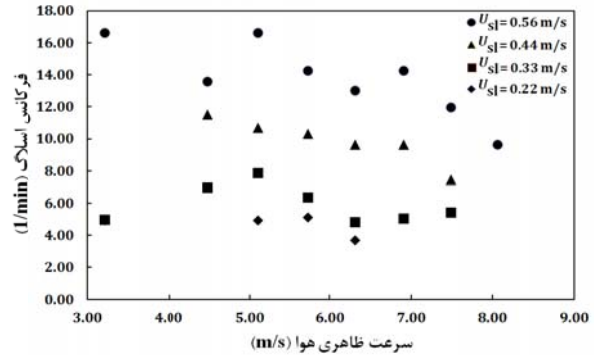
طبق جدول ۴ مشخص می‌شود که کمینه فرکانس در کمترین سرعت ظاهری مایع و بیشینه آن در بیشترین سرعت ظاهری مایع رخ می‌دهد که نشان‌دهنده وابستگی مستقیم فرکانس اسلامگ با سرعت ظاهری فاز مایع است.

از نمودارهای فرکانس اسلامگ مشخص است که فرکانس اسلامگ در هر سرعت ظاهری مایع با افزایش سرعت ظاهری گاز، کاهش می‌باید. دلیل این است که با افزایش سرعت ظاهری گاز اختلاف سرعت آن با سرعت ظاهری مایع افزایش می‌باید. در سرعت‌های گاز بالا بیشتر امواج غلتان و کف‌آسود تشکیل می‌شود و از این‌رو فرکانس اسلامگ کاهش می‌باید.

خلاصه نتایج کمی فرکانس اسلامگ در مکان‌های مختلف در جدول ۵ مشاهده می‌شود.

نمودارهای فشار در آزمایش شماره ۲۰ از کسر حجمی مایع ۰/۷۵ با سرعت‌های ظاهری آب و هوا به ترتیب $0/44 \text{ m/s}$ و $5/09 \text{ m/s}$ در مدت زمان ۳۰s در شکل ۹ آمده است. در هر ثانية، ۱۰۰ داده فشار توسط برنامه رایانه‌ای متلب^۱ ثبت می‌شود. بنابراین محور افقی نمودارهای فشار بر حسب ۱۰۰ ثانية است.

همان‌گونه که دیده می‌شود، فشار در ابتدای کanal بیشینه است. نمودار توزیع فشار در ابتدای کanal طیف پیوسته‌ای دارد. پیوستگی توزیع فشار حاکی از فشار بالای جریان دوفازی در ابتدای کanal، پیش و حین تشکیل اسلامگ است.



شکل ۸ فرکانس اسلامگ (1/min) در سرعت‌های ظاهری مختلف آب و هوا در محل ۴۵ برابر قطر هیدرولیکی کanal

جدول ۴ بیشینه و کمینه کلی فرکانس اسلامگ در ۴۵D

سرعت ظاهری مایع (m/s)	سرعت ضریب فرکانس اسلامگ (1/min)	توضیحات
۳/۷۵	۲۸/۲۴	کمینه کلی
۱۶/۶۷	۵/۷۶	بیشینه کلی
۱۶/۶۷	۹/۱۶	بیشینه کلی

جدول ۵ بیشینه، کمینه و متوسط فرکانس اسلامگ در مکان‌های مختلف

فرکانس اسلامگ (1/min)	محل ۱ (۴۵D)	محل ۲ (۲۷۹D)	محل ۳ (۴۵D)
۱۶/۶۷	۱۶/۶۷	۲۰/۰۰	بیشینه
۳/۷۵	۳/۳۳	۳/۱۶	کمینه
۹/۱۱	۸/۱۴	۱۰/۲۷	متوسط

کanal (محدوده ابتدایی کanal و آغاز تشکیل اسلامگ) فاصله ۲۷۹۰ از ورودی کanal (محدوده میانی کanal و شرایط پایاتر جریان اسلامگ نسبت به ناحیه ورودی کanal) و فاصله D ۴۵۰ از ورودی کanal (محدوده انتهایی کanal و خروج اسلامگ) است.

۸- بحث و نتیجه‌گیری

در این مقاله اثرات سرعت ظاهری گاز و مایع ورودی و نیز فاصله از بالادست کanal بر فرکانس اسلامگ در جریان دوفازی آب و هوا به صورت تجربی بررسی و روابط تجربی برای محاسبه فرکانس اسلامگ نیز ارائه شده است. محل انجام آزمایش‌ها، آزمایشگاه جریان چندفازی دانشگاه تربیت‌مدرس بوده است. آزمایش‌ها در کسر حجمی مایع ۷/۵۰ در یک کanal افقی با مقاطع مستطیلی به ابعاد $5 \times 10 \text{ cm}^2$ (قطر معادل هیدرولیکی $6/67 \text{ cm}$) و به طول 36 m (طول معادل $D/5$) از جنس پلکسی گلاس انجام شده است. نتایج به دست آمده از آزمایش‌ها به شرح زیر هستند:

- بیشترین تعداد تست‌ها مربوط به بیشینه سرعت ظاهری مایع است. بهدلیل بالا بودن مومنتوم مایع، محدوده سرعت‌های ظاهری گاز که ناپایداری اسلامگ تشکیل می‌شود، افزایش خواهد یافت. در سرعت‌های ظاهری پایین مایع، با افزایش سرعت ظاهری گاز امواج غلتان و کف‌آلد تشکیل می‌شود.
- در هر سرعت ظاهری مایع با افزایش سرعت ظاهری گاز، فرکانس اسلامگ کاهش می‌یابد.
- با افزایش سرعت ظاهری مایع فرکانس اسلامگ نیز افزایش می‌یابد. دلیل این است که افزایش سرعت ظاهری مایع سبب افزایش مومنتوم مایع خواهد شد. افزایش مومنتوم مایع تأثیر ناپایدار کننده بر جریان خواهد داشت.
- در تمامی آزمایش‌ها کمینه فرکانس در کمترین سرعت ظاهری مایع و بیشینه آن در بیشترین سرعت ظاهری مایع رخ می‌دهد.
- با افزایش ضریب لغزش، فرکانس اسلامگ کاهش می‌یابد.
- فرکانس اسلامگ تابع قوی از سرعت ظاهری مایع است. در سرعت‌های بالاتر آب، فرکانس اسلامگ در لوله نیز بیشتر خواهد بود. تأثیر سرعت ظاهری گاز بر فرکانس اسلامگ، کاهشی است.

۷- روابط تجربی

براساس داده‌های حاصل از آزمایش‌های انجام شده، با استفاده از روش آماری کمینه مربعات و کمیت فیزیکی بی بعد رینولدز ظاهری دوفاز (رابطه ۳) رابطه فرکانس اسلامگ با میانگین خطای نسبی بین نتایج تجربی و مقادیر حاصل از رابطه ارائه شده کمتر از ۵٪ به دست آمده است (جدول ۶). این خطای معیاری از نزدیکی رابطه تجربی معرفی شده با نتایج تجربی براساس روش آماری کمینه مربعات است.

$$\begin{aligned} U_{sg} &= \alpha_g U_g, U_{sl} = \alpha_l U_l \\ D_{hg} &= \frac{4A_g}{S_g + S_l}, D_{hl} = \frac{4A_l}{S_l} \\ Re_{sg} &= \frac{\rho_g D_{hg} |U_{sg}|}{\mu_g}, Re_{sl} = \frac{\rho_l D_{hl} |U_{sl}|}{\mu_l} \end{aligned} \quad (3)$$

جدول ۶ رابطه فرکانس اسلامگ در مکان‌های مختلف در محدوده نتایج به دست آمده

مکان	فرکانس اسلامگ	خطا
۶۰D	$S.F. = 2 \times 10^{-5} Re_{sl}^{1.64} Re_{sg}^{-0.38} - 1.2$	٪۳/۷۴
۲۷۹D	$S.F. = 2209 Re_{sl}^{0.0074} Re_{sg}^{0.0083} - 2179.09$	٪۳/۱۵
۴۵D	$S.F. = 6 \times 10^{-5} Re_{sl}^{1.44} Re_{sg}^{-0.32} - 0.79$	٪۳/۷۱

برای ارزیابی کارایی روابط ارائه شده، فرکانس اسلامگ اندازه‌گیری شده تجربی با مقادیر پیش‌بینی شده از روابط جدول ۶ و نیز رابطه‌های (۱) و (۲) به صورت نمونه در تعدادی از آزمایش‌ها مقایسه می‌شود (جدول‌های ۷ تا ۹). مقدار خطای در هر ردیف، عبارت از خطای نسبی مقدار پیش‌بینی شده فرکانس اسلامگ توسط هر رابطه با مقدار تجربی آن است.

براساس جدول‌های ۷-۹ مشخص می‌شود که مقادیر فرکانس اسلامگ حاصل از رابطه‌های جدول ۶ بهترین تطبیق را با داده‌های تجربی دارد. اگرچه رابطه‌های زاباراس و گریگوری و اسکات در پیش‌بینی فرکانس اسلامگ ضعیف است، ولی در سرعت‌های ظاهری کم گاز و مایع پیش‌بینی خوبی دارد. لازم به یادآوری است رابطه‌های زاباراس و گریگوری و اسکات، فرکانس اسلامگ را در یک کanal بدون توجه به مکان ارائه می‌دهد؛ در حالی که رابطه‌های جدول ۶ در سه فاصله ۶۰D از ورودی

جدول ۷ مقایسه مقدار فرکانس اسلامگ (۱) ثبت شده تجربی با روابط مختلف در محل ۶۰D

شماره آزمایش	U_{sg} (m/s)	U_{sl} (m/s)	تجربی	رابطه حاضر	خطا (%)	رابطه گریگوری و اسکات	خطا (%)	رابطه زاباراس	خطا (%)
۲	۲/۲۰	۰/۲۲	۵	۴/۲۳	۱۵/۴	۵/۳۲	۶/۴	۴/۴۵	۱۱
۶	۵/۰۹	۰/۲۲	۳/۱۶	۳/۳۴	۵/۷	۵/۲۰	۶/۴۵۶	۴/۳۵	۳۷/۶۶
۱۱	۴/۴۷	۰/۳۳	۸/۸۲	۸/۰۸	۸/۴	۸/۳۴	۵/۴۴	۶/۹۷	۲۰/۹۷
۲۸	۴/۴۷	۰/۵۶	۲۰	۲۰/۲۳	۱/۱۵	۱۵/۴۷	۲۲/۶۵	۱۲/۹۴	۲۵/۳

جدول ۸ مقایسه مقدار فرکانس اسلامگ (۱) ثبت شده تجربی با روابط مختلف در محل ۲۷۹D

شماره آزمایش	U_{sg} (m/s)	U_{sl} (m/s)	تجربی	رابطه حاضر	خطا (%)	رابطه گریگوری و اسکات	خطا (%)	رابطه زاباراس	خطا (%)
۱۲	۵/۹	۰/۳۳	۷/۸۹	۸/۵۵	۸/۳۶	۸/۵۰	۷/۷۳	۷/۱۱	۹/۸۸
۱۳	۵/۷۰	۰/۳۳	۶/۱۲	۶/۴۹	۶/۰۵	۸/۷۸	۴۳/۴۶	۷/۳۴	۱۹/۹۳
۲۴	۷/۴۷	۰/۴۴	۷/۵۰	۶/۲۷	۱۶/۴	۱۴/۱۸	۸/۹۰	۸/۹۶	۱۱/۸۶
۲۹	۵/۰۹	۰/۵۶	۱۶/۶۷	۱۶/۹۶	۱/۷۴	۱۵/۸۶	۴/۸۶	۱۳/۲۷	۲۰/۴۰

جدول ۹ مقایسه مقدار فرکانس اسلامگ (۱) ثبت شده تجربی با روابط مختلف در محل ۴۵D

شماره آزمایش	U_{sg} (m/s)	U_{sl} (m/s)	تجربی	رابطه حاضر	خطا (%)	رابطه گریگوری و اسکات	خطا (%)	رابطه زاباراس	خطا (%)
۲	۲/۲۰	۰/۲۲	۵	۳/۹۰	۲۲	۵/۳۲	۶/۴	۴/۴۵	۱۱
۱۱	۴/۴۷	۰/۳۳	۶/۹۸	۶/۷۸	۲/۸۶	۸/۳۴	۱۹/۴۸	۶/۹۷	۰/۱
۱۹	۴/۴۷	۰/۴۴	۱۱/۵۴	۱۰/۶۸	۷/۴۵	۱۱/۸۰	۲/۲۵	۹/۸۷	۱۴/۴۷
۲۷	۳/۲۰	۰/۵۶	۱۶/۶۷	۱۶/۸۴	۱	۱۵/۵۹	۶/۴۸	۱۳/۰۴	۲۱/۷۸

- [2] S. M. Keyla, A. L. Marcelo, E. G. Gonçalves, S. R. Geraldo, A. F. Fernando, S. R. Eugênio, Horizontal Slug Flow in a Large-Size Pipeline Experimentation and Modeling, Journal of Brazilian Society of Mechanical Science, vol. 23 No. 4, Rio de Janeiro, pp. 481-490, 2001
- [3] U. Kadri, R.F. Mudde, R.V.A. Oliemans, Influence of the operation pressure on slug length in near horizontal gas-liquid pipe flow, International Journal of Multiphase Flow vol. 36, pp 423-431, 2010
- [4] T.J. Hanratty, A. Hershman, Initiation of roll waves. AIChE Journal vol. 7, pp 488-497, 1961
- [5] U. Kadri, R.F. Mudde, R.V.A. Oliemans, M. Bonizzi, P. Andreussi, Prediction of the transition from stratified to slug flow or roll-waves in gas-liquid horizontal pipes, International Journal of Multiphase Flow vol. 35, pp 1001-1010, 2009
- [6] Ch. Omgbia-Essama, Numerical Modeling of Transient Gas-Liquid Flows (Application to Stratified & Slug Flow Regimes), PhD thesis, Cranfield University, Cranfield, 2004
- [7] M.R. Ansari, Numerical analysis for slugging of steam-water stratified two-phase flow in horizontal duct, Fluid Dynamics Research vol. 22, pp 329-344, 1998
- [8] M.R. Ansari, Dynamical behavior of slug initiation generated by short waves in two-phase air-water stratified flow, ASME HTD vol. 361, pp 289-295, 1998
- [9] P. Adibi, M.R. Ansari, Experimental Investigation of Slug Initiation to Upstream Conditions of Two Phases in Long Horizontal Channels in Two Fluids, Modares Mechanical Engineering, In Press. (In Persian)
- [10] J. Fabre, A. Line, "Modeling of two-phase slug flow", Annular Revision Fluid Mechanic vol. 24 No. 1, pp. 21-26, 1992
- [11] T. Hill, C. Fairhurst, C. Nelson, H. Becerra, R. Bailey, Multiphase production through hilly-terrain pipelines in Cusiana oilfield, Colombia, SPE 36606, Presented at SPE ATCE, Denver, CO., 1996
- [12] J. Sun, P. Jepson, Slug flow characteristics and their effect on corrosion rates in horizontal oil and gas pipelines, SPE 24787, Presented at SPE ATCE, Washington, DC, 1992
- [13] E. Al-Safran, Investigation and prediction of slug frequency in gas liquid horizontal pipe flow, Journal of Petroleum Science and Engineering vol. 69, pp. 143-155, 2009
- [14] E.S. Kordyban, T. Ranov, Experimental study of the mechanism of two-phase flow in horizontal tubes, Multiphase Flow Symposium, ASME, 1963
- [15] K. J. Chu, An analysis of slug frequency in two phase horizontal slug flow, MSc Thesis, University of Houston, Texas, 1968
- [16] L. Vermeulen, J. Ryan, Two-phase slug flow in horizontal and inclined pipes, The Canadian Journal of Chemical Engineering vol. 49, pp. 195-201, 1971
- [17] A.E. Dukler, M.G. Hubbard, A model for gas-liquid slug flow in horizontal and near horizontal tubes, Industrial & Engineering Chemistry Fundamentals vol. 14, pp. 337-347, 1975
- [18] M. Hubbard, An analysis of horizontal gas-liquid slug flow, PhD thesis, University of Houston, Texas, 1965
- [19] G.A. Gregory, D.S. Scott, Correlation of liquid slug velocity and frequency in horizontal co current gas-liquid slug flow, AIChE Journal vol. 15, pp. 935-993, 1969
- [20] M.K. Nicholson, K. Aziz, G.A. Gregory, Intermittent two-phase flow in horizontal pipes: predictive models, The Canadian Journal of Chemical Engineering vol. 56, pp. 653-663, 1978
- [21] N. Heywood, J. Richardson, Slug flow of air-water mixtures in a horizontal pipe: determination of liquid holdup by gamma-ray absorption, Journal of Chemical Engineering Science vol. 34, pp. 17-30, 1979
- [22] P.Y. Lin, T.J. Hanratty, Prediction of the initiation of slugs with linear stability theory, International Journal of Multiphase Flow vol. 12, pp. 79-98, 1986a
- [23] P.Y. Lin, T.J. Hanratty, Detection of slug flow from pressure measurements, International Journal of Multiphase Flow vol. 13, pp. 13-21, 1986b
- [24] N. Andritsos, L. Williams, T.J. Hanratty, Effect of liquid viscosity on the stratified-slug transition in horizontal pipe flow, International Journal of Multiphase Flow vol. 15, pp. 877-892, 1989
- [25] Z. Fan, F. Lisseyran, T.J. Hanratty, Initiation of slugs in horizontal gas-liquid flows, AIChE Journal vol. 39 No. 11, pp. 1741-1753, 1993a
- [26] Z. Fan, Z. Ruder, T.J. Hanratty, Pressure profiles for slugs in horizontal pipelines, International Journal of Multiphase Flow vol. 19, pp. 421-437, 1993b
- [27] B.D. Woods, Z. Fan, T. J. Hanratty, Frequency and development of slugs in a horizontal pipe at large liquid flows, International Journal of Multiphase Flow vol. 32, pp. 902-925, 2006

- در سرعت‌های کم مایع، مومنتوم مایع کم است، بنابراین مومنتوم انتقالی به گاز کاهش می‌یابد ولی در سرعت‌های بالای مایع، با از دست دادن مومنتوم شرایط جدیدی برای تشکیل اسلامگ ایجاد می‌شود. به بیان دیگر در سرعت ظاهری مایع کم با تغییر سرعت فاز گاز، فرکانس تقریباً ثابت می‌ماند ولی در سرعت‌های بالاتر روندی کاهشی دارد. سیالات در ورودی، مومنتوم بالاتری دارند. انتقال مومنتوم نیز بیشتر خواهد بود. از این‌رو نوسانات فرکانس اسلامگ در ابتدای کanal نیز بیشتر خواهد بود.

- با توجه به نتایج بدست آمده، مقدار فرکانس اسلامگ با فاصله از بالادست کاهش می‌یابد. این مطلب حاکی از آن است که با حرکت اسلامگ‌ها به سمت پایین دست، تعدادی از آن‌ها مستهلک می‌شوند.

- زمان عبور اسلامگ از مبدل‌های فشار با حرکت به طرف پایین دست، کاهش می‌یابد. به بیان دیگر با حرکت اسلامگ به پایین دست کanal، اسلامگ سریع‌تر و با شتاب بیشتری حرکت می‌کند.

- از مقایسه مقادیر فرکانس اسلامگ حاصل از رابطه‌های معرفی شده و رابطه‌های زیباراس و گریگوری و اسکات، می‌توان گفت رابطه‌های جدول ۶ به ویژه در سرعت‌های بالای گاز و مایع، پیش‌بینی بهتری دارد.

- رابطه‌های جدول ۶، بر حسب فاصله از بالادست ارائه شده‌اند که آن‌ها را از روابط محققان پیشین متمایز می‌کند.

۹- فهرست علائم

A	سطح مقطع
D	قطر معادل هیدرولیکی کanal (m)
F_s	فرکانس اسلامگ (s^{-1})
g	شتاب جاذبه (ms ⁻²)
S	طول تماس (m)
U	سرعت (ms^{-1})
U_m	مجموع سرعت‌های ظاهری فاز مایع و گاز (ms^{-1})
α	علایم یونانی
θ	کسر حجمی (rad)
μ	شیب کanal (rad)
ρ	ویسکوزیته ($kgm^{-1}s^{-1}$)
z	چگالی (kgm^{-3})
z	زیرنویس‌ها
g	فاز گاز
h	هیدرولیکی
i	سطح مشترک
l	فاز مایع
s	ظاهری

۱۰- تقدیر و تشکر

نویسنده‌گان این مقاله لازم می‌دانند از آقایان سعید احمدی و بهزاد صادقی که طی انجام آزمایش‌ها همکاری صمیمانه و موثری داشته‌اند، تشکر نمایند.

۱۱- مراجع

- [1] I. Toumi, A. Kumbaro, H. Paillere, Approximate Riemann solvers and flux vector splitting schemes for two-phase flow, Technical Report, France, 1999

- [31] R. Van Hout, L. Shemer, D. Barnea, Evolution of hydrodynamic and statistical parameters of gas-liquid slug flow along inclined pipes, *Chemical Engineering Science* vol. 58 No. 1, pp. 115-133, 2003
- [32] G. Zabaras, Prediction of slug frequency for gas-liquid flow, *SPE Journal* vol. 5, pp 252-258, 2000
- [33] Y. Taitel, A.E. Dukler, A model for slug frequency during gas-liquid flow in horizontal and near horizontal pipes, *International Journal of Multiphase Flow* vol. 3, pp 585-596, 1977
- [34] ANSI/ASME, Measurement Uncertainty, PTC 19, Part I, 1986
- [28] X. Wang, G. Liejin, X. Zhang, An experimental study of the statistical parameters of gas-liquid two-phase slug flow in horizontal pipeline, (Technical Note), *International Journal of Heat and Mass Transfer* vol. 50, pp. 2439-2443, 2007
- [29] P. Grenier, J. Fabre, J.R. Fagundes Netto, Slug flow in pipelines: recent advances and future developments, *Proceeding Eighth International Conference on Multiphase Production*, Cannes, France, Cranfield BHRG, June 18-20, 1997
- [30] R. Van Hout, D. Barnea, L. Shemer, Evolution of statistical parameters of gas-liquid slug flow along vertical pipes, *International Journal of Multiphase Flow* vol. 27 No. 9, pp. 1579-1602, 2001